

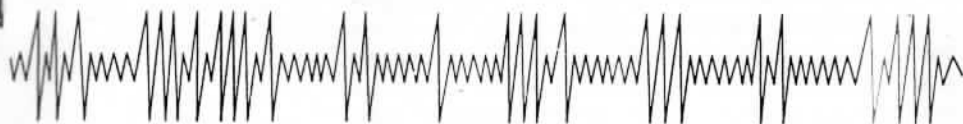
149-6313  
595/7-8

149

ISSN 0021-3454

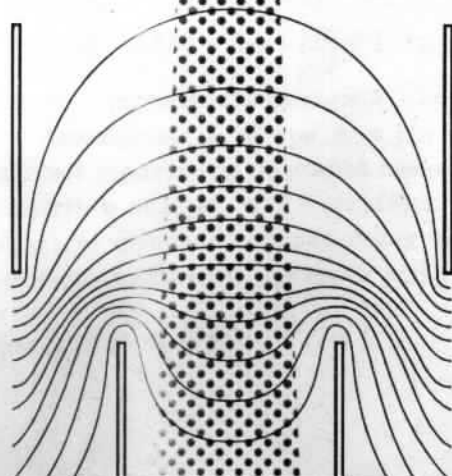
18

# П Р И Б О Р О С Т Р О Е Н И Е



7-8

1995



А. П. ТРИФОНОВ, С. П. АЛЕКСЕЕНКО, Е. П. НЕЧАЕВ

Воронежский государственный университет

ОЦЕНКА ПАРАМЕТРОВ МОЩНОСТИ СЛУЧАЙНОГО ПРОЦЕССА  
С НЕИЗВЕСТНОЙ ПОЛОСОЙ ЧАСТОТ

Исследована помехоустойчивость измерителя величины и центральной частоты спектра мощности случайного процесса в условиях, когда полоса частот обрабатываемого процесса известна неточно. Вычислены допустимые значения ошибок в определении полосы частот процесса, при которых измеритель сохраняет работоспособность.

В работе [1] предложен способ аппаратурной реализации оптимального измерителя  $N_{s0}$  и центральной частоты  $l_0$  спектра мощности

$$G(\omega, N_{s0}, l_0) = \begin{cases} N_{s0}/2, & |\omega \pm l_0| \leq \Omega_0/2, \\ 0, & |\omega \pm l_0| > \Omega_0/2 \end{cases} \quad (1)$$

гауссовского узкополосного стационарного центрированного случайного процесса  $s(t)$ , принимаемого на фоне гауссовского белого шума  $n(t)$  с односторонней спектральной плотностью  $N_{s0}$ .

Структура и характеристики измерителя приведены в работе [1] для условия, что полоса частот  $\Omega_0$  случайного процесса  $s(t)$  априори точно известна. Однако полоса частот  $\Omega_0$  спектра мощности (1) во многих прикладных задачах не может быть известна с абсолютной точностью. В этом случае рассматриваемый в работе [1] измеритель можно использовать, заменив известное истинное значение полосы частот  $\Omega_0$  на некоторое ожидаемое (предполагаемое) значение полосы  $\Omega^*$ . Получаемые при этом оценки  $N_{sm}^*$  и  $l_m^*$  величины и центральной частоты спектра мощности (1) естественно уже не будут оптимальными, так как в общем случае  $\Omega^* \neq \Omega_0$ . Оценки  $N_{sm}^*$  и  $l_m^*$  можно назвать квазиправдоподобными [2], поскольку при  $\Omega^* = \Omega_0$  они переходят в оценки максимального правдоподобия.

Сигнальная составляющая выходного процесса  $r(l)$  приемного устройства [1] при  $\Omega^* \neq \Omega_0$  имеет форму трапеции, а шумовой компонент представляет собой недифференцируемый случайный процесс. Используя метод локально-марковской аппроксимации [3, 4] и решая соответствующие уравнения Фоккера – Планка – Колмогорова, находим совместно с распределением надежной оценки  $l_m^*$  частоты  $l_0$  ее смещение и рассеяние:

$$d_0 = 0; \quad (2)$$

$$\begin{aligned} \sigma_0^2 = \Omega_0^2 \left\{ \frac{|\delta\Omega|^2}{8} + \exp\left(\frac{z^2 D |\delta\Omega|}{S^2}\right) \left[ 1 - \Phi\left(\frac{z}{S} \sqrt{2D |\delta\Omega|}\right) \right] \times \right. \\ \times \left[ \frac{13S^2}{z^4} + \frac{|\delta\Omega|}{z^2} (3S - 16D) + |\delta\Omega|^2 \left( 12 \frac{D^2}{S^2} - 4 \frac{D}{S} \right) + \right. \\ \left. + z^2 |\delta\Omega|^3 \frac{D^2}{S^3} \left( 4 - \frac{16D}{3S} \right) \right] + \left[ \frac{|\delta\Omega| D^{1/2}}{z} \left( 3 - \frac{22D}{3S} \right) + \right. \\ \left. + \frac{13SD^{1/2}}{z^3} + 2z |\delta\Omega|^2 \frac{D^{3/2}}{S^2} \left( \frac{4D}{3S} - 1 \right) \right] \sqrt{\frac{|\delta\Omega|}{\pi}} \right\}, \quad (3) \end{aligned}$$

где  $\delta\Omega = (\Omega^* - \Omega_0)/\Omega_0$ ;  $z = \mu q_0$ , здесь  $\mu = T\Omega_0/2\pi$ ,  $q_0 = N_{s0}/N_0$ ;  $S = \mu[1 + (1 + q_0)^2]/2$ ;  $D = \mu[(1 + q_0(1 - \text{sgn}(\delta\Omega)))/2]^2$ , здесь  $\text{sgn}(x) = x/|x|$ ;  $\Phi(\cdot)$  — интеграл вероятности [3].

Точность выражений (2) и (3) возрастает с увеличением параметра  $\mu$  при  $\delta\Omega > -1/2$ . При  $\delta\Omega = 0$  характеристики (2) и (3) совпадают с результатами, полученными в работе [1]. Учитывая аномальные ошибки, уравнения для вычисления значений условных смещения и рассеяния оценки  $l_m^*$  можно записать в виде [1, 3, 4]:

$$d(l_m^* | N_{s0}, l_0) = \langle l_m^* - l_0 \rangle \simeq (1 - P_0) \times \\ \times [(L_1 + L_2)/2 - l_0]; \quad (4)$$

$$V(l_m^* | N_{s0}, l_0) = \langle (l_m^* - l_0)^2 \rangle \simeq p_0 \sigma_0^2 + (1 - p_0) \times \\ \times [l_0^2 - l_0(L_1 + L_2) + (L_1^2 + L_1 L_2 + L_2^2)/3], \quad (5)$$

где  $p_0$  — вероятность надежной оценки.

Аналогично [3, 4] при  $m = (L_2 - L_1)/\Omega^* \gg 1$  и  $\mu \gg 1$  вероятность надежной оценки можно представить в виде  $p_0 = \int F_N(x) dF_s(x)$ , где  $F_N(x)$  и  $F_s(x)$  — функции распределения величины абсолютного максимума процесса  $r(l)/N_0$  в шумовой

и сигнальной подобластях априорного интервала  $[L_1, L_2]$ . Распределение  $F_N(x)$  при  $m \gg 1$  примет вид [4]

$$F_N(x) = \begin{cases} \exp \left[ -\frac{m}{\Gamma(\mu^*)} x^{\mu^*} \exp(-x) \right], & x \geq \mu^*; \\ 0, & x < \mu^*, \end{cases}$$

где  $\mu^* = \mu(1 + \delta\Omega) = T\Omega^*/2\pi$ .

Согласно [5] функция распределения абсолютного максимума процесса в сигнальной области

$$F_s(x) = \int_{-\infty}^H \Phi \left[ \frac{H - y(1 - |\Delta|)}{\sqrt{|\Delta|(2 - |\Delta|)}} \right] \frac{\exp(-y^2/2)}{\sqrt{2\pi}} dy - \\ - \frac{|\Delta|H}{\sqrt{2\pi}} \exp(-H^2/2) \Phi \left( \sqrt{\frac{|\Delta|}{2 - |\Delta|}} H \right) - \\ - \frac{\sqrt{|\Delta|(2 - |\Delta|)}}{2\pi} \exp[-H^2/(2 - |\Delta|)],$$

где

$$H = \frac{x - \mu[1 + \delta\Omega + q_0 \min(1, 1 + \delta\Omega)]}{\sqrt{\mu[1 + \delta\Omega + \min(1, 1 + \delta\Omega)(2q_0 + q_0^2)]}}; \\ \Delta = \delta\Omega / \left[ 1 + \delta\Omega + \frac{|\delta\Omega| + \delta\Omega}{2\delta\Omega} (2q_0 + q_0^2) \right], \quad |\Delta| \leq 1.$$

Аналогично [1] условные смещение и рассеяние квазиравнодоподобной оценки  $N_{sm}^*$  представим следующим образом:

$$d(N_{sm}^* | N_{s0}, l_0) = \langle N_{sm}^* - N_{s0} \rangle \simeq \\ \simeq (N_0 + N_{s0})(f_1 - 1); \quad (6)$$

$$V(N_{sm}^* | N_{s0}, l_0) = \langle (N_{sm}^* - N_{s0})^2 \rangle \simeq \\ \simeq (N_0 + N_{s0})^2 (f_2 - 2f_1 + 1), \quad (7)$$

где

$$f_1 = \int_{\mu^*/(1+q_0)}^{\infty} [1 - F(x)] dx / \mu^* + (1 + q_0)^{-1}; \\ f_2 = 2 \int_{\mu^*/(1+q_0)}^{\infty} x [1 - F(x)] dx / \mu^{*2} + (1 + q_0)^{-2}; \\ F(x) = F_N[(1 + q_0)x] F_s[(1 + q_0)x].$$

Точность выражений (4) — (7) возрастает с увеличением параметров  $m$  и  $\mu$ . При  $\mu^* \gg 1$  выражения (6), (7) принимают вид

$$d(N_{sm}^* | N_{s0}, l_0) \simeq \begin{cases} \frac{2(N_0 + N_{s0})\sqrt{|\delta\Omega|}}{\sqrt{\mu\pi}(1 + \delta\Omega)}, & \delta\Omega \leq 0; \\ -\frac{N_{s0}\delta\Omega}{1 + \delta\Omega} + \frac{2N_0\sqrt{|\delta\Omega|}}{\sqrt{\mu\pi}(1 + \delta\Omega)}, & \delta\Omega \geq 0; \end{cases}$$

$$V(N_{sm}^* | N_{s0}, l_0) \simeq \begin{cases} \frac{(N_0 + N_{s0})^2}{\mu(1 + \delta\Omega)^2}, & \delta\Omega \leq 0; \\ \frac{N_{s0}^2 \delta\Omega^2}{(1 + \delta\Omega)^2} - \frac{4N_0 N_{s0} |\delta\Omega|^{3/2}}{\sqrt{\mu\pi}(1 + \delta\Omega)^2} + \\ + \frac{1}{\mu} \left[ \frac{(N_0 + N_{s0})^2 + 2\delta\Omega N_0^2}{(1 + \delta\Omega)^2} \right], & \delta\Omega \geq 0. \end{cases} \quad (8)$$

Проигрыш в точности оценки величины и центральной частоты спектра мощности (1) наблюдаемого случайного процесса будем характеризовать отношениями

$$\rho_1 = V(N_{sm}^* | N_{s0}, l_0) / V(N_{sm} | N_{s0}, l_0); \quad (9)$$

$$\rho_2 = V(l_m^* | N_{s0}, l_0) / V(l_m | N_{s0}, l_0), \quad (10)$$

где  $V(N_{sm} | N_{s0}, l_0)$ ,  $V(l_m | N_{s0}, l_0)$  — рассеяния оптимальных оценок величины и центральной частоты спектра мощности при  $\delta\Omega = 0$  [1].

Используя формулы (5) и (8), выражения (9) и (10) при  $\mu \gg 1$  можно записать в виде

$$\rho_1 = \begin{cases} (1 + \delta\Omega)^{-2}, & \delta\Omega \leq 0; \\ \frac{(1 + q_0)^2 + 2\delta\Omega}{(1 + \delta\Omega)^2(1 + q_0)^2} - \\ - \frac{4q_0 |\delta\Omega|^{3/2} \sqrt{\mu}}{\sqrt{\pi}(1 + \delta\Omega)^2(1 + q_0)^2} + \\ + \mu \left[ \frac{q_0 \delta\Omega}{(1 + \delta\Omega)(1 + q_0)} \right]^2, & \delta\Omega \geq 0; \end{cases} \quad (11)$$

$$\rho_2 = \frac{q_0^4 \mu^2 |\delta\Omega|^2}{13(2 + 2q_0 + q_0^2)^2}. \quad (12)$$

На рис. 1 приведены зависимости проигрыша в точности оценки величины спектра мощности  $\rho_1$  от  $\delta\Omega$  (11), на рис. 2 — зависимости проигрыша в точности оценки центральной частоты  $\rho_2$  (12) от величины  $|\delta\Omega|$ . Здесь сплошные кривые построены при  $\mu = 3 \cdot 10^2$ , штриховые — при  $\mu = 10^3$ ; зависимости 1 рассчитаны для  $q_0 = 1$ , 2 — для  $q_0 = 3$ . Анализ этих зависимостей показывает, что отсутствие априорной информации о полосе частот наблюдаемого случайного процесса может привести к существенному снижению точности оценок, формируемых измерителем [1]. С ростом ошибки в определении полосы спектра мощности  $\delta\Omega$  в большей степени снижается точность оценки центральной частоты (см. рис. 2). Поэтому допустимый интервал ошибок в определении полосы спектра можно найти из соотношения (12) при заданном значении  $\rho_2$ :

$$|\delta\Omega| \leq \sqrt{13\rho_2(2 + 2q_0 + q_0^2)/(\mu q_0^2)}.$$

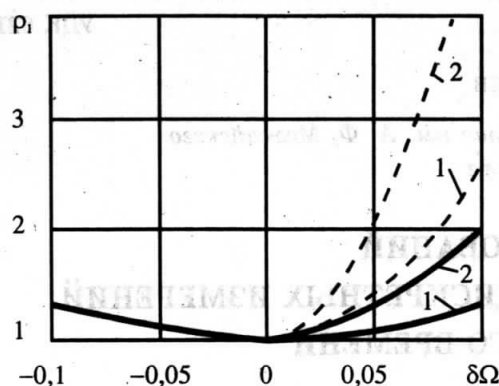


Рис. 1

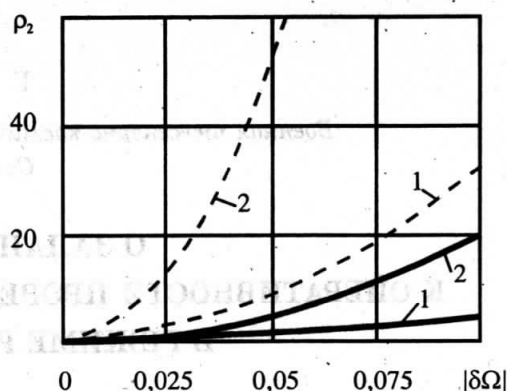


Рис. 2

Полученные результаты позволяют вычислить допустимую погрешность определения полосы частот спектра, которая обеспечивает требуемую точность оценок величины и центральной частоты спектра мощности случайного процесса, вырабатываемых измерителем [1].

### Список литературы

1. Трифонов А. П., Нечаев Е. П. Совместная оценка величины и центральной частоты спектра мощности случайного процесса // Изв. вузов СССР. Приборостроение. 1988. Т. 31, № 12. С. 3-6.

2. Мудров В. И., Кушко В. Л. Методы обработки измерений. М.: Радио и связь, 1983.
3. Трифонов А. П., Шинаков Ю. С. Совместное различие сигналов и оценка их параметров на фоне помех. М.: Радио и связь, 1986.
4. Трифонов А. П. Прием случайного сигнала с неизвестной частотой // Радиотехника и электроника. 1980. Т. 25, № 4. С. 749-757.
5. Shepp L. A. Radon-Nicodým Derivatives of Gaussian Measures // Ann. Math. Statist. 1966, Vol. 37, Apr. P. 321-354.

Рекомендована  
кафедрой  
радиофизики

Поступила  
в редакцию  
27.04.93 г.